

## ДИНАМИЧЕСКАЯ МОДЕЛЬ АМПЛИТУДЫ С "ПОВОРОТОМ" СПИНА

И.И.Левинтова

На базе модели, в которой поляризованный протон рассматривается как "вращающаяся" частица, рассчитаны параметр  $R$  в  $\pi p$ -рассеянии при  $40 \text{ ГэВ/с}$ . Предсказывается знак асимметрии в реакции  $\pi(p, n)2\pi$  на поляризованных протонах.

Вопрос о возможной динамической интерпретации спин-флипа в сильных взаимодействиях до сих пор не рассматривался. Спиновые члены матрицы рассеяния вводятся феноменологически или путем добавки к центральному потенциалу спин-орбитального члена, или путем введения соответствующих реджционных вершин. Ниже излагается наглядная модель амплитуды с "поворотом" спина, которая основана на партонных представлениях. Из этой модели вытекает, что спиновые эффекты в адрон-адронном рассеянии связанные с  $(\sigma, 1)$  взаимодействием в первом порядке (поляризация, поворот спина) должны падать с ростом энергии не медленнее чем  $(\ln s)^{-2}$ , а также другие качественные следствия, которые можно проверить при энергиях порядка  $\Gamma_{\text{эв}}$ .

Если предположить, что среди партонов составляющих физический нуклон реализуются, как положительные, так и отрицательные четности, то такие конфигурации должны обладать нечетным орбитальным моментом. Например у поляризованного нуклона комбинация

$$\text{физический нуклон } \frac{1}{2}^{(+)} = \text{партон } \frac{1}{2}^{(+)} + \text{партон } 0^{(-)}$$

имеет единичный орбитальный момент  $L_z = r_x r_y = 1$ , который с вероятностью  $2/3$  ориентирован по оси  $z$ <sup>1)</sup>.

Ориентированному орбитальному моменту можно сопоставить средний полярный импульс  $\bar{p}_x = \langle L_z r_{+y} / r^2 \rangle$ , лежащий в плоскости нормальной  $z$ , и направленный тангенциально к орбите. Рассмотрим рассеяние быстрой безспиновой частицы на поляризованном нуклоне, отвечающем такой "вращающейся" комбинации партонов. Как хорошо известно, амплитуда с поворотом спина  $M_1$ <sup>2)</sup> может быть представлена при больших  $s$  и малых  $q$  в виде

$$M_1 = 2\pi i \int \{ f(+\rho, s) - f(-\rho, s) \} J_1(q\rho) \rho d\rho, \quad (1)$$

где  $f(\pm\rho, s)$  – парциальные амплитуды частиц имеющих прицельный параметр  $\rho$  и пролетающих "справа" ( $+\rho$ ) и "слева\*" ( $-\rho$ ) от центра нуклона в плоскости  $x, y$ , (спин ориентирован по оси  $z$ ). Как может возникнуть разность  $f(+\rho, s) - f(-\rho, s)$ ?

<sup>1)</sup> Считаем ведезе  $\hbar = c = 1$ .

<sup>2)</sup> В этой статье используется матрица рассеяния выраженная через матрицы Паули:  $M = M_0 + iM_1 \sigma \cdot \mathbf{n}$  ( $\mathbf{n}$  – нормаль к плоскости рассеяния).

Так как плотность партонов покоящегося нуклона, во всяком случае, аксиально симметрична относительно направления  $z$  и поэтому не может зависеть от знака  $\rho$  в плоскости  $x, y$ , то причина возникновения разности может состоять в том, что при пролете "слева" ( $-\rho$ ) тангенциальный импульс вращающихся партонов направлен навстречу налетающей частице; ( $-\rho$ ) отвечает  $|j| = l - \frac{1}{2}$ , а при пролете "справа" ( $+\rho$ ) частица "догоняет" партон. При больших  $s$ , и малых  $q$ , когда вкладом вещественной части в амплитуду можно пренебречь величина  $f(\rho, s)$ , в случае рассеяния без спиновых частиц имеет, как известно вид [1]

$$f(\rho, s) = \frac{\sigma_0}{2\pi\gamma\eta} \exp\left[-\frac{\rho^2}{2\gamma\eta}\right], \quad (2)$$

где  $\eta = \frac{1}{2} \ln \frac{s}{m}$  – быстрота исходных партонов (соударяющихся частиц в СЦИ),  $\gamma = 4\alpha_p(0) \approx 1/(G\pi c)^2 \delta_0$  – предельное значение полного сечения.

В нашей модели исходный партон отвечающий поляризованному нуклону первоначально диссоциирует на два партонов обладающих единичным орбитальным моментом. Естественно предположить, что величина среднего тангенциального импульса пары  $p_x \approx p_{\perp} \approx m$  ( $p_{\perp}$  – поперечный импульс партонов). Таким образом, партнеры приобретают быстроты в СЦИ соответственно  $\eta_{\pm} = \eta_0 \pm \frac{\Delta}{2}$ ,

где

$$\Delta = \frac{1}{2} \ln \frac{\sqrt{p_x^2 + m^2} + p_x}{\sqrt{p_x^2 + m^2} - p_x} \approx \frac{1}{2} \ln \frac{\sqrt{2} + 1}{\sqrt{2} - 1} \approx 1;$$

причем среднее расстояние между партнерами в плоскости  $x, y$  определяется условием  $\Delta\rho \approx 1/m$ .

Процесс соударения без спиновой частицы, обладающей прицельным параметром  $+\rho$  с поляризованным нуклоном, можно теперь представить как сумму ее взаимодействий с медленными партонами "потомками" партнера имевшего быстроту  $\eta_-$  и прицельный параметр  $\rho - 1/m$ , и с "потомками" партнера  $\eta_+$  имевшего прицельный параметр  $\rho + (1/m)$ . В соответствии с (2) получим для мнимой части  $f(\pm\rho, s)$ :

$$f(\pm\rho, s) = \frac{2\sigma_0}{3 \cdot 4\pi \eta_{\mp} \gamma} \exp\left[-\frac{\left(\rho - \frac{1}{m}\right)^2}{2\gamma\eta_{\mp}}\right] + \frac{2\sigma_0}{3 \cdot 4\pi \eta_{\pm} \gamma} \exp\left[-\frac{\left(\rho + \frac{1}{m}\right)^2}{2\gamma\eta_{\pm}}\right] \quad (3)$$

(коэффициент  $2/3$  определяется вкладом ориентированного орбитального момента), При  $q^2 \ll 1/2\gamma\eta$  и  $\eta > 1$  с точностью до членов  $\sim \Delta^2$

имеем:

$$M_1 = i \sigma_0 \frac{q}{2m} \frac{1}{m^2 \gamma} \frac{\Delta}{\eta^2} ; \quad (4)$$

$$M_0 = i \sigma_0 \exp \left[ -\frac{\gamma}{2} q^2 \eta \right].$$

Таким образом  $M_1$  не содержит  $P$  полюса. Это же утверждение относится к "s" канальной амплитуде с изменением спиральности которая асимптотически совпадает с  $M_1$ . Полюс Померанчука содержится тривиальным образом в "t" канальной амплитуде в силу ее связи с  $M_0$  [2].

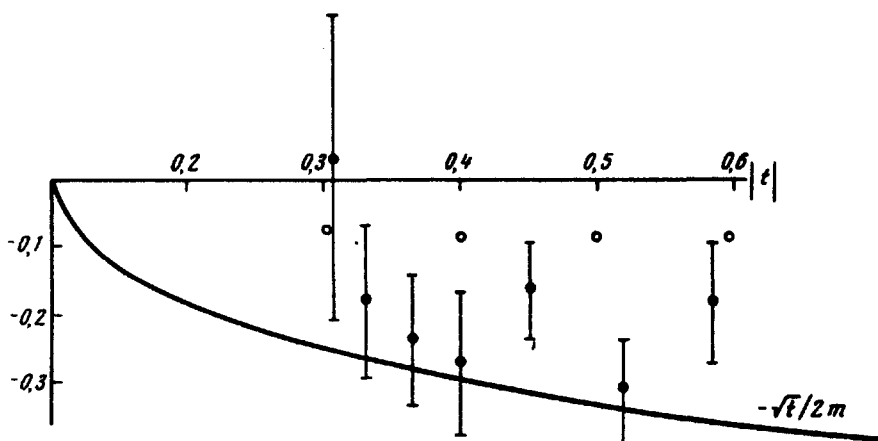


Рис. 1. Параметр  $R$  в  $\pi^- p$  при  $p_\pi = 40 \text{ Гэв}/c$

На рис. 1 представлены экспериментальные данные по параметру  $R$  в  $\pi^- p$ -рассеянии при  $p_L = 40 \text{ Гэв}/c$ <sup>1)</sup> [3]. Кривая дает значения  $R$ , рассчитанные по формулам (1), (2), причем величина  $M_1$  усреднена по двум массам партонов: 0,14 и 0,938<sup>1)</sup>. Соответственно, при  $p_L = 40 \text{ Гэв}$  взяты быстрые  $\eta_o(\pi) = 4,1$  и  $\eta_o = 2,2$ .

Было показано, что взаимодействие спин-орбита ( $\vec{\sigma}, \vec{l}$ ) у адронов может быть сведено, в партонной модели, к взаимодействию орбита-орбита ( $L, l$ ). Таким образом наличие сильной амплитуды  $M_1$  может означать, что у адронов со спином 1/2 имеется "вращение". Возникает вопрос, можно ли в реакциях обнаружить передачу тангенциального импульса, подобно тому как мы говорим о передаче 4-импульса, заряда, странности и т. д. из одной вершины в другую.

Рассмотрим реакцию  $\pi(p, n)2\pi$  на поляризованном протоне при  $p_\pi \sim 2 \text{ Гэв}/c$  с точки зрения передачи тангенциального импульса  $p$  из нуклонной вершины в пионную. Реакция  $\pi(p, n)2\pi$  при таких энергиях идет

<sup>1)</sup> При  $p_L \gg m$ ;  $q^2 \ll 4m^2$ ;  $m = 0,938 \text{ Гэв}$ :  $R = -\frac{q}{2m} + \left( \sqrt{\frac{2q^2}{p_L m}} + 2 \operatorname{Re} \frac{M_1}{M_0} \right) \left( 1 - \frac{q^2}{8m^2} \right)$

на 70 – 80% через образование  $\rho$ -мезона, причем ее сечение хорошо описывается моделью реджизованного однопионного обмена [4] с учетом взаимодействия одного из пионов с нейтроном в конечном состоянии.

Выберем кинематические переменные таким образом, чтобы они соответствовали встречному движению налетающего пиона и виртуального пиона. В этом случае направление импульса нейтрона должно совпадать в лаб. системе с направлением импульса падающего пиона. Если протон поляризован и есть "вращение", то выбор встречной кинематики означает, что образование  $\rho$  идет преимущественно в заштрихованной области (рис. 2, a), при условии что спин направлен от читателя. Сам по себе этот факт еще не приводит к асимметрии, так как такая картинка соответствует учету только диаграммы однопионного обмена.

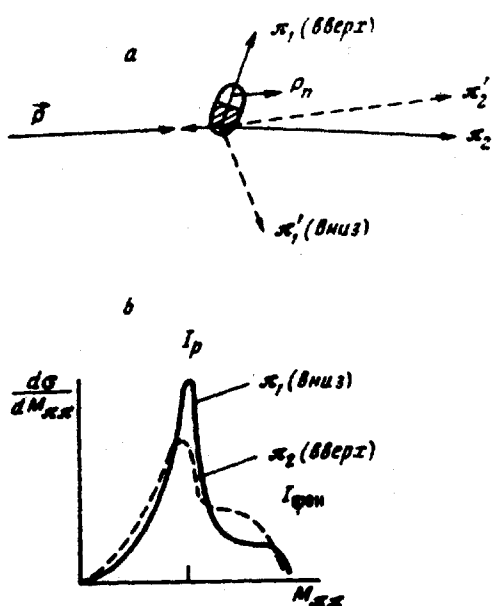


Рис. 2. a, б – Асимметрия в реакции  $\pi(p, n) 2\pi$

Асимметрию дает учет взаимодействия в конечном состоянии. Взаимодействует с нейроном в конечном состоянии преимущественно медленный пion, летящий под большим углом. Это взаимодействие проявляется в спектре масс системы  $\pi\pi$  как появление избыточного фона вне массы  $\rho$ -мезона (рис. 2, б). Выбор "встречной" кинематики, если есть передача тангенциального импульса, приводит к тому, что взаимодействует с нейроном преимущественно медленный пion, летящий на нашем рисунке вверх. На основе изложенных качественных соображений можно ожидать, что передача тангенциального импульса приведет к определенному знаку асимметрии в спектре масс системы  $\pi\pi$ , образованной на по-

ляризованном протоне; именно  $\left(\frac{I_{\text{фон}}}{I_\rho}\right)_{\pi_1(\text{вверх})} > \left(\frac{I_{\text{фон}}}{I_\rho}\right)_{\pi_1(\text{вниз})}$ .

или

$$\frac{(d\sigma/dM_{\pi\pi})_{\text{фон}}}{(d\sigma/dM_{\pi\pi})_p} = A - B P [p_0 p_{\pi_1}] \quad A, B > 0.$$

Выражая благодарность В.И.Захарову, Л.Б.Окуню, А.Б.Кайдалову за ценные замечания, а также В.П.Канавцу за расчеты параметра  $R$ .

Институт теоретической  
и экспериментальной физики

Поступила в редакцию  
4 июня 1974 г.

### Литература

- [1] В.Н.Грибов. Пространственно-временное описание взаимодействия адронов при высоких энергиях. Сб. "Элементарные частицы". (Первая школа физики ИТЭФ. М., Атомиздат, вып. 1, стр. 65, 1973.)
  - [2] И.И.Левинтов, Р.М.Рындин. Об удобном способе измерения эффекта поворота спина в мезон-нуклонном рассеянии. ЯФ, 7, 413, 1968.
  - [3] 2<sup>nd</sup> Aix-en-Provence Int. Conf. on Elementary Particles September 1973. IHEP-ITEP-JINR-SACLAY-Collaboration. Measurements of the parameters R and A in  $\pi^-p$  and  $K^-p$  Elastic scattering at 40 GeV/c.
  - [4] К.Г.Боресков, А.Б.Кайдалов, Л.П.Понаморев. Совместное описание эксклюзивного и инклузивного образования частиц в модели реджизированного однопионного обмена. Сб. "Элементарные частицы". Первая школа физики ИТЭФ, М., Атомиздат, вып. 3, 1973.
-